

高エネルギー重イオン衝突における 強い場の物理の現状

(理論的な立場から)

田屋 英俊

慶應大

今日の話

重イオン衝突初期における 3つの強い場の物理の(主観的な)レビュー

0. 基礎的な話

- 強い場の物理の概観

1. 強いカラー場

- 衝突直後

2. 強い電磁場

- 非中心/超周辺衝突
- 非対称衝突
- 低エネルギー衝突

3. 強い渦度場

- 周辺衝突 (global)
- 系の膨張, jet ... (local)

[新井田さんのトーク参照]

0. 基礎的な話

「強い場の物理」とは？

「強い場の物理」とは？



真空

「強い場の物理」とは？



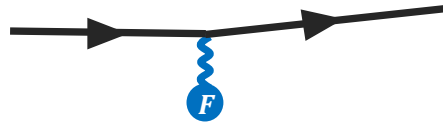
真空

弱い電磁場 ($eF/m^2 \ll 1$)

強い電磁場 ($eF/m^2 \gg 1$)



「強い場の物理」とは？



真空

弱い電磁場 ($eF/m^2 \ll 1$)

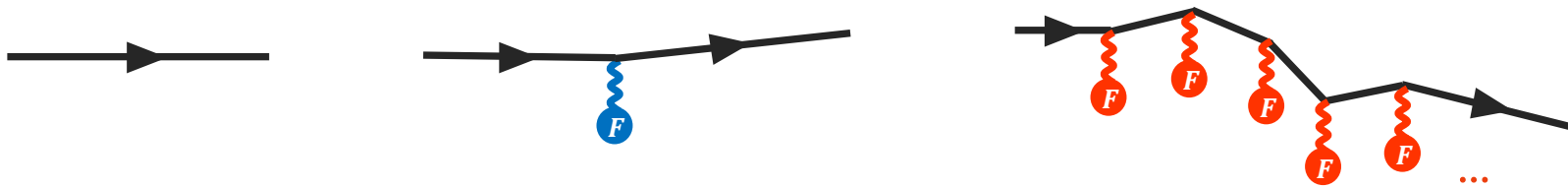
強い電磁場 ($eF/m^2 \gg 1$)

摂動・線形現象

実験・理論ともによくわかっている

cf. 磁気モーメント

「強い場の物理」とは？



真空

弱い電磁場 ($eF/m^2 \ll 1$)

強い電磁場 ($eF/m^2 \gg 1$)

摂動・線形現象

非摂動・非線形現象

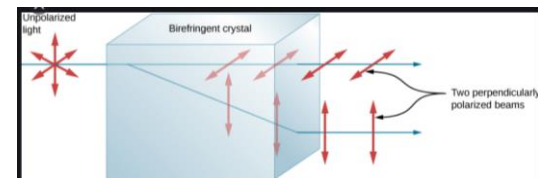
実験・理論ともによくわかっている

実験・理論ともに未踏の領域

cf. 磁気モーメント

cf. Schwinger機構, 光子分裂,

真空複屈折 ...



楽しさ

1

物理学の基礎的課題

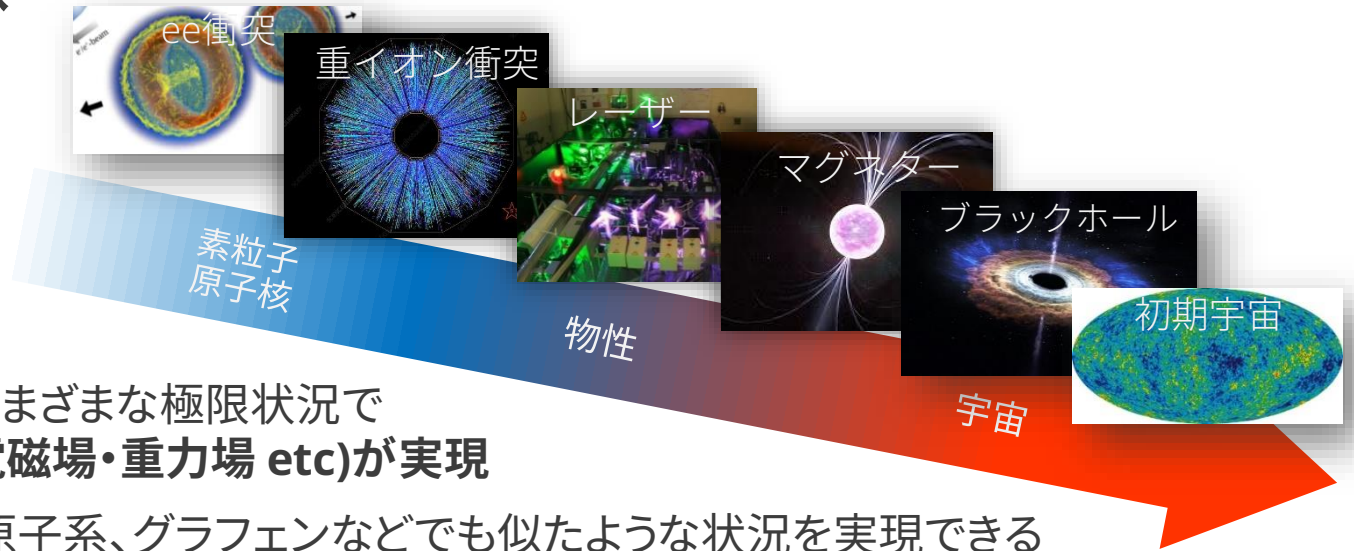
- ・場の量子論の非線形領域は、実験・理論ともに未踏

楽しさ

1 物理学の基礎的課題

- ・場の量子論の非線形領域は、実験・理論ともに未踏

2 現象論的な興味



- ・スケールの異なるさまざまな極限状況で
強い場(カラー場・電磁場・重力場 etc)が実現
- ・絶縁破壊とか冷却原子系、グラフェンなどでも似たような状況を実現できる

楽しさ

1 物理学の基礎的課題

- ・場の量子論の非線形領域は、実験・理論ともに未踏

2 現象論的な興味



- ・スケールの異なるさまざまな極限状況で
強い場(カラー場・電磁場・重力場 etc)が実現
- ・絶縁破壊とか冷却原子系、グラフェンなどでも似たような状況を実現できる

3 タイムリー

実験・観測が**今まさに**可能になってきた!

e.g.) レーザー：ELI実験 (2020年3月開始)

マグネター：IXPE衛星 (2021年打上予定)、XL-Calibur気球 (2021年打上予定)

重イオン衝突：超周辺衝突事象の解析 (2019年)

コライダー実験：FACET-II (2022年?) [Yakimenko et al. (2019)]

理論的な話 (1/2)

- ✓ 強い場がダイナミカルか否か大別できる

理論的な話 (1/2)

✓ 強い場がダイナミカルか否か大別できる

ダイナミカルでない: 強い場はfixedな外場。ドレスされたプロパゲータで摂動論。

$$\mathcal{L} = -\frac{1}{4} f_{\mu\nu} f^{\mu\nu} + \bar{\psi} [i\gamma^\mu (\partial_\mu + ie\bar{A}_\mu) - m] \psi + e a_\mu \bar{\psi} \gamma^\mu \psi \quad \text{with} \quad A_{\text{total}} = \bar{A} + a \leftarrow \text{ゆらぎ}$$

例) QED

非摂動的に扱う

相互作用項 (摂動的に扱う)

強い場: 手で固定した外場

理論的な話 (1/2)

✓ 強い場がダイナミカルか否か大別できる

ダイナミカルでない: 強い場はfixedな外場。ドレスされたプロパゲータで摂動論。

$$\mathcal{L} = -\frac{1}{4} f_{\mu\nu} f^{\mu\nu} + \bar{\psi} [i\gamma^\mu (\partial_\mu + ie\bar{A}_\mu) - m] \psi + ea_\mu \bar{\psi} \gamma^\mu \psi \quad \text{with} \quad A_{\text{total}} = \bar{A} + a \leftarrow \text{ゆらぎ}$$

例) QED

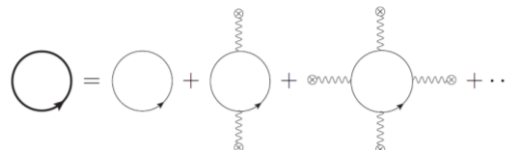
非摂動的に扱う

相互作用項 (摂動的に扱う)

強い場: 手で固定した外場

できていること

- 簡単な電磁場配位 (特に、一様定常電磁場、平面波) ならプロパゲータが厳密に求まる
⇒ 有効作用や断面積も (しばしば) 厳密に求まる
- 有名な例: Euler-Heisenberg effective action (一様定常電磁場中の1ループ有効作用)



$$\Rightarrow \mathcal{L} = -\mathcal{F} - \frac{1}{8\pi^2} \int_0^\infty \frac{ds}{s^3} \exp(-m_e^2 s) \left[(es)^2 \frac{\text{Re} \cosh(es\sqrt{2(\mathcal{F} + i\mathcal{G})})}{\text{Im} \cosh(es\sqrt{2(\mathcal{F} + i\mathcal{G})})} \mathcal{G} - \frac{2}{3} (es)^2 \mathcal{F} - 1 \right]$$

$$= \frac{1}{2} (\mathbf{E}^2 - \mathbf{B}^2) + \frac{2\alpha^2}{45m_e^4} [(\mathbf{E}^2 - \mathbf{B}^2)^2 + 7(\mathbf{E} \cdot \mathbf{B})^2] + \dots$$

[Heisenberg, Euler (1936)]

理論的な話 (1/2)

✓ 強い場がダイナミカルか否か大別できる

ダイナミカルでない: 強い場はfixedな外場。ドレスされたプロパゲータで摂動論。

$$\mathcal{L} = -\frac{1}{4} f_{\mu\nu} f^{\mu\nu} + \bar{\psi} [i\gamma^\mu (\partial_\mu + ie\bar{A}_\mu) - m] \psi + e a_\mu \bar{\psi} \gamma^\mu \psi \quad \text{with} \quad A_{\text{total}} = \bar{A} + a \leftarrow \text{ゆらぎ}$$

例) QED

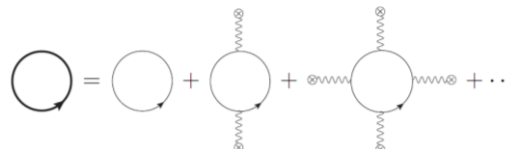
非摂動的に扱う

相互作用項 (摂動的に扱う)

強い場: 手で固定した外場

できていること

- 簡単な電磁場配位 (特に、一様定常電磁場、平面波) ならプロパゲータが厳密に求まる
⇒ 有効作用や断面積も (しばしば) 厳密に求まる
- 有名な例: Euler-Heisenberg effective action (一様定常電磁場中の1ループ有効作用)



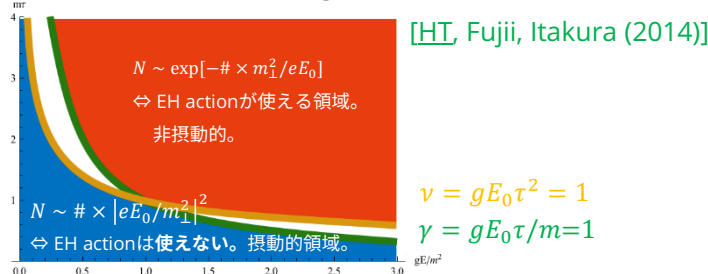
$$\Rightarrow \mathcal{L} = -\mathcal{F} - \frac{1}{8\pi^2} \int_0^\infty \frac{ds}{s^3} \exp(-m_e^2 s) \left[(es)^2 \frac{\text{Re} \cosh(es\sqrt{2(\mathcal{F} + i\mathcal{G})})}{\text{Im} \cosh(es\sqrt{2(\mathcal{F} + i\mathcal{G})})} \mathcal{G} - \frac{2}{3} (es)^2 \mathcal{F} - 1 \right]$$

$$= \frac{1}{2} (\mathbf{E}^2 - \mathbf{B}^2) + \frac{2\alpha^2}{45m_e^4} \left[(\mathbf{E}^2 - \mathbf{B}^2)^2 + 7(\mathbf{E} \cdot \mathbf{B})^2 \right] + \dots$$

[Heisenberg, Euler (1936)]

未解明なこと

- 簡単な電磁場配位しかやられてない
e.g., 電磁場が非一様だとEH actionは全然使えない
(寿命 τ のパルス電場でのSchwinger機構の"相図")



- 量子補正が α^n でコントロールできない可能性
($\alpha\chi^{2/3}$ problem, Ritus-Narozhny conjecture)

$$\frac{\mathcal{P}}{m^2} = \text{diagram 1} + \text{diagram 2} + \text{diagram 3} + \text{diagram 4} + \dots$$

$\sim \alpha\chi^{2/3}$ $\sim \alpha^2\chi^{2/3}\log\chi$ $\sim \alpha^3\chi\log^2\chi$ $\sim \alpha^n\chi^{(2n-3)/3}$
Narozhny 1968 Morozov 1977 Narozhny 1980 conjecture

$$\frac{\mathcal{M}}{m} = \text{diagram 1} + \text{diagram 2} + \text{diagram 3} + \text{diagram 4} + \dots$$

$\sim \alpha\chi^{2/3}$ $\sim \alpha^2\chi\log\chi$ $\sim \alpha^3\chi^{5/3}$ $\sim \alpha^n\chi^{(2n-1)/3}$
Ritus 1970 Ritus 1972 Narozhny 1980 conjecture

[Ritus (1972)]
[Narozhny (1980)]
[Fedotov (2017)]

理論的な話 (2/2)

✓ 強い場がダイナミカルか否か大別できる

ダイナミカル:(量子ゆらぎと結合した)強い場の発展も陽に追う。

現状

- 完璧な理論はない。よく使われるのが：

理論的な話 (2/2)

✓ 強い場がダイナミカルか否か大別できる

ダイナミカル: (量子ゆらぎと結合した)強い場の発展も陽に追う。

現状

• 完璧な理論はない。よく使われるのが：

- 古典場(+量子ゆらぎ)のアプローチ

• 平均場近似: Kluger, Mottola, Cooper, Svetitsky, Tanji, [HT](#), ...

• Real-time lattice fermion technique: Berges, Schlichting, Tanji, ...

• Classical statistical simulation: Gelis, Epelbaum, Tanji, ...

• Classical EoM: Lappi, Kyoto group, ...

$$\begin{cases} [i\gamma^\mu(\partial_\mu + ie\bar{A}_\mu) - m]\psi = 0 \\ \partial^\mu \bar{F}_{\mu\nu} = e\bar{\psi}\gamma^\mu\psi \rightarrow e\langle\bar{\psi}\gamma^\mu\psi\rangle \end{cases}$$

[Mueller, Son (2004)] [Jeon (2004)]

適用条件: 場がとても強く \simeq 系がとても密 ($f \gg 1$) \Rightarrow 系はcoherent (粒子描像は適用不可)

理論的な話 (2/2)

✓ 強い場がダイナミカルか否か大別できる

ダイナミカル: (量子ゆらぎと結合した)強い場の発展も陽に追う。

現状

• 完璧な理論はない。よく使われるのが：

- 古典場(+量子ゆらぎ)のアプローチ

• 平均場近似: Kluger, Mottola, Cooper, Svetitsky, Tanji, [HT](#), ...

$$\begin{cases} [i\gamma^\mu(\partial_\mu + ie\bar{A}_\mu) - m]\psi = 0 \\ \partial^\mu \bar{F}_{\mu\nu} = e\bar{\psi}\gamma^\mu\psi \rightarrow e\langle\bar{\psi}\gamma^\mu\psi\rangle \end{cases}$$

- Real-time lattice fermion technique: Berges, Schlichting, Tanji, ...
- Classical statistical simulation: Gelis, Epelbaum, Tanji, ...
- Classical EoM: Lappi, Kyoto group, ...

[Mueller, Son (2004)] [Jeon (2004)]

適用条件: 場がとても強く \simeq 系がとても密 ($f \gg 1$) \Rightarrow 系はcoherent (粒子描像は適用不可)

- 運動学的アプローチ

[Matsui](#), [Kerman](#), [Gattoff](#), [Asakawa](#), [Blaschke](#), [Smolyansky](#), [Hebenstreit](#), [Kurkela](#), ...

$$p^\mu \frac{\partial}{\partial x^\mu} f(x, p) = (\text{collision term}) + (\text{source term})$$

適用条件: 場がそんなに強くない \simeq 系がそこそこ疎 ($e^2 f \ll 1$) \Rightarrow 系はincoherent (粒子描像が適用可)

理論的な話 (2/2)

✓ 強い場がダイナミカルか否か大別できる

ダイナミカル: (量子ゆらぎと結合した)強い場の発展も陽に追う。

現状

- 完璧な理論はない。よく使われるのが：

- 古典場(+量子ゆらぎ)のアプローチ

- 平均場近似: Kluger, Mottola, Cooper, Svetitsky, Tanji, [HT](#), ...

$$\begin{cases} [i\gamma^\mu(\partial_\mu + ie\bar{A}_\mu) - m]\psi = 0 \\ \partial^\mu \bar{F}_{\mu\nu} = e\bar{\psi}\gamma^\mu\psi \rightarrow e\langle\bar{\psi}\gamma^\mu\psi\rangle \end{cases}$$

[Mueller, Son (2004)] [Jeon (2004)]

適用条件: 場がとても強く \simeq 系がとても密 ($f \gg 1$) \Rightarrow 系はcoherent (粒子描像は適用不可)

- Real-time lattice fermion technique: Berges, Schlichting, Tanji, ...
- Classical statistical simulation: Gelis, Epelbaum, Tanji, ...
- Classical EoM: Lappi, Kyoto group, ...

- 運動学的アプローチ

Matsui, Kerman, Gattoff, Asakawa, Blaschke, Smolyansky, Hebenstreit, Kurkela, ...

$$p^\mu \frac{\partial}{\partial x^\mu} f(x, p) = (\text{collision term}) + (\text{source term})$$

適用条件: 場がそんなに強くない \simeq 系がそこそこ疎 ($e^2 f \ll 1$) \Rightarrow 系はincoherent (粒子描像が適用可)

未解明なこと

- 古典場/運動学的アプローチをつなぐ統一的な手法 (Kadanoff-Baymをまじめに解く。2PI。)
- "ちゃんとした"collision/source termのインプリ
- 放射のバックリアクションを含んだ有効模型 (Lorentz-Abraham-Dirac模型, Landau-Lifshitz模型, ...)
- カスケード的な過程: マグネター、レーザー ...

Nishiyama, Hatta, Tsutsui, Berges, Aarts, ...

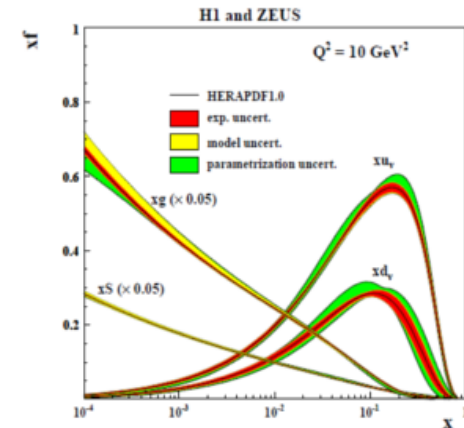
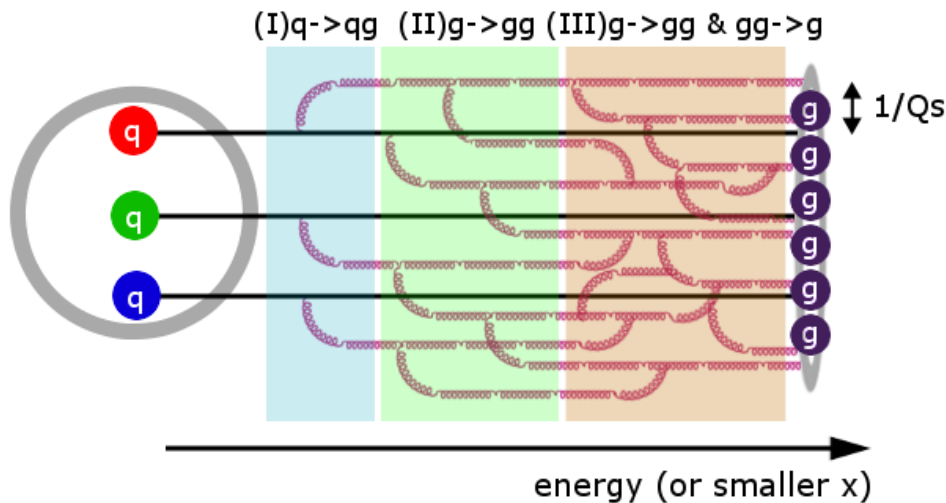
1. 重イオンにおける 強いカラー場

強いカラー場のできかた

強いカラー場のできかた

✓ 高エネルギー原子核はグルーオンだらけ (カラーガラス凝縮(CGC)状態) [McLerran, Venugopalan (1994)]

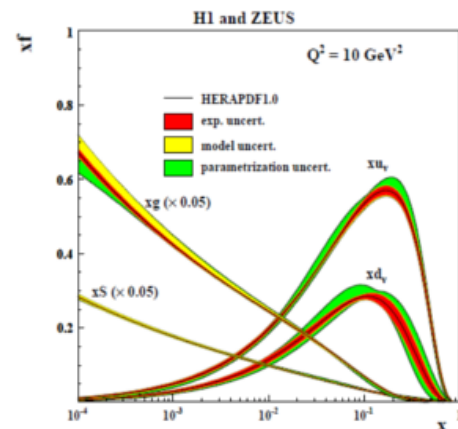
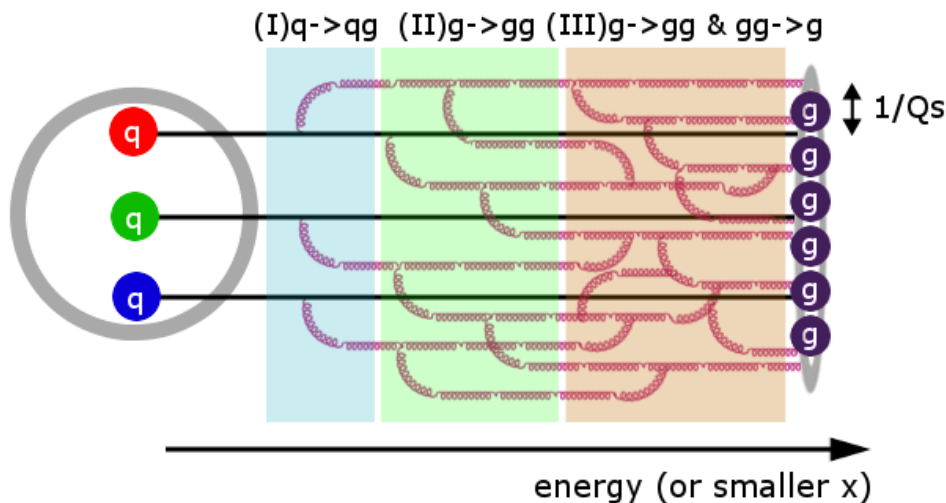
⇒ カラー電荷が濃密に詰まった"カラー電極"みたいな状態
with 電荷密度 = $O(Q_s) = O(\text{a few GeV})$



強いカラー場のできかた

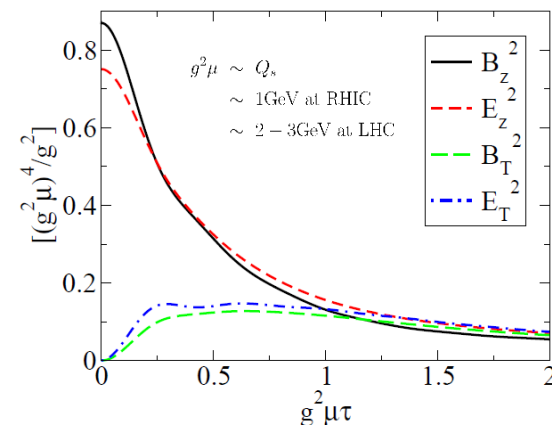
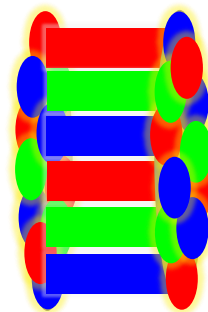
✓ 高エネルギー原子核はグルーオンだらけ (カラーガラス凝縮(CGC)状態) [McLerran, Venugopalan (1994)]

⇒ カラー電荷が濃密に詰まった"カラー電極"みたいな状態
with 電荷密度 = $O(Q_s) = O(\text{a few GeV})$



[Lappi, McLerran (2006)]

✓ 高エネルギー原子核衝突
≈ カラーコンデンサの形成
⇒ 非常に強いカラー電磁場の形成



昔のflux tube modelの現代版:

[Low (1975)] [Nussinov (1975)] [Casher, Neuberger, Nussinov (1979)]

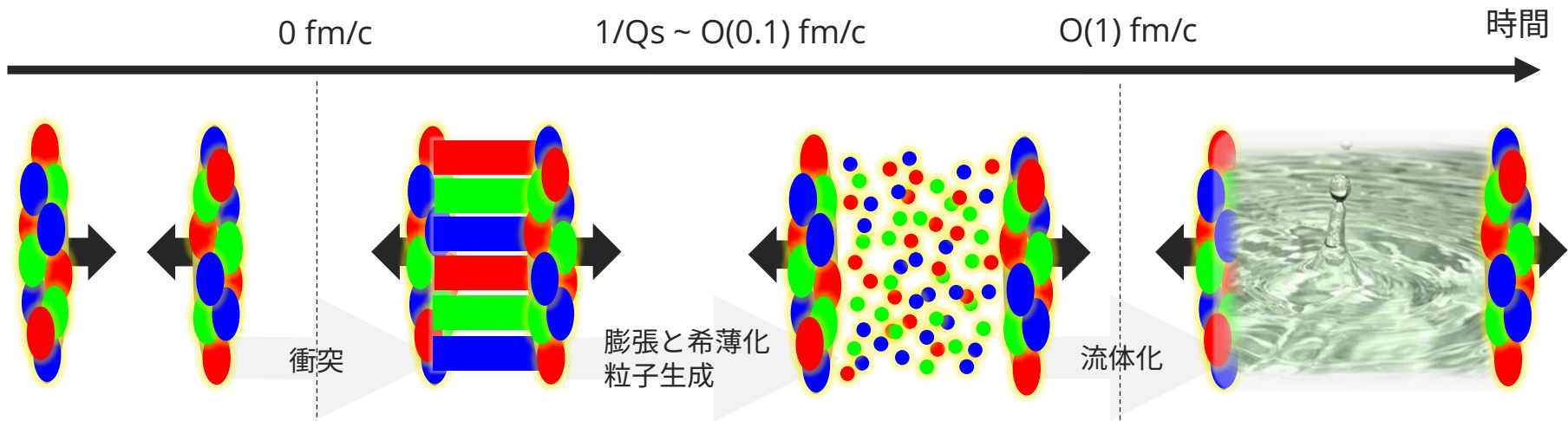
強いカラー場に関連した話題・進展 (個人的に気になる)

✓ QGP生成過程の理解 [Review: Berges, Heller, Mazeliauskas, Venugopalan (2020)] (弱結合領域における)

✓ それに関連した話題・進展

- クォーク生成、カイラリティ生成 Gelis, Kajantie, Lappi, Tanji, Berges, Fukushima, Copinger, HT, ...
- charged v1 flow [Hirono, Hongo, Hirano (2014)] [Voronyuk, Toneev, Voloshin, Cassing (2014)]
[実験: STAR Collaboration (2016), 新井田さんが詳しい]
- 光子・ダイレプトン生成 Matsui, Asakawa, Tanji, Berges, Venugopalan, Liao, McLerran, Gale, ...
- Ridge, 長距離rapidity相関 [実験: 関口さんが詳しい]
- 初期由来のpreflow [Dusling, Mace, Venugopalan (2018)]
- $K\bar{0}MP\bar{0}ST$ [Kurkela, Mazeliauskas, Paquet, Schlichting, Teaney (2018)] [Berges, Rothkopf, Schmidt (2008)]
[Berges, Boguslavski, Schlichting, Venugopalan (2013)]
- 非平衡アトラクター・"universality" [Spinor Bose gasでの観測: Prufer et al. (2018)]
- off-equilibrium hydrodynamics [Heller, Spalinski (2015)] [Romatschke (2018)]
- ...

QGPの生成シナリオ (弱結合領域における)



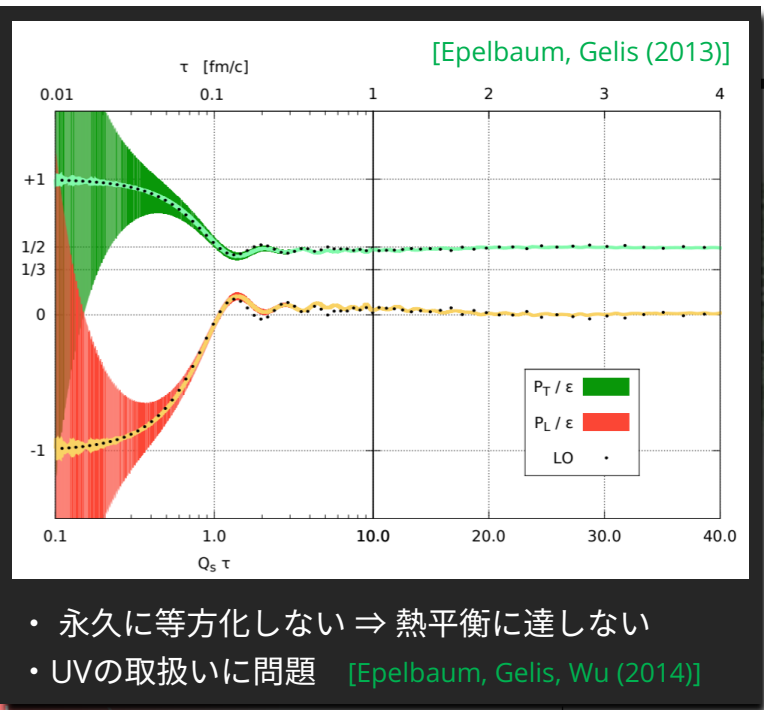
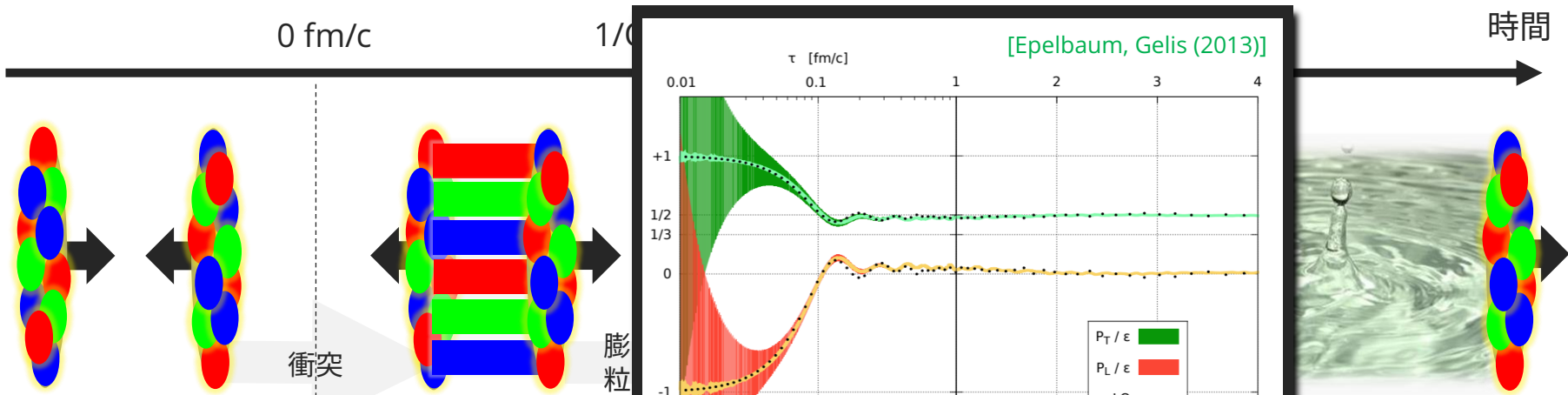
グルーオン飽和 (CGC)
→ 摂動論的QCD

強いカラー電磁場 (Glasma)
→ 古典場(+ゆらぎ)の方程式

パートン物質
→ 運動学的方程式

クォークグルーオンプラズマ
→ 流体力学

QGPの生成シナリオ (弱結合領域における)



- 永久に等方化しない \Rightarrow 熱平衡に達しない
- UVの取扱いに問題 [Epelbaum, Gelis, Wu (2014)]

グルーオン飽和 (CGC)
 \Rightarrow 摂動論的QCD

強いカラー電磁場 (Glasma)
 \Rightarrow 古典場(+ゆらぎ)の方程式

パートン物質
 \Rightarrow 運動学的方程式

クォークグルーオンプラズマ
 \Rightarrow 流体力学

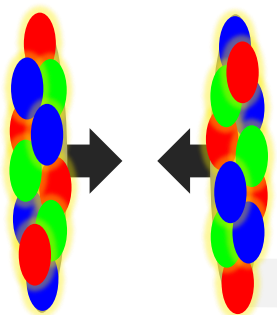
QGPの生成シナリオ (弱結合領域における)

0 fm/c

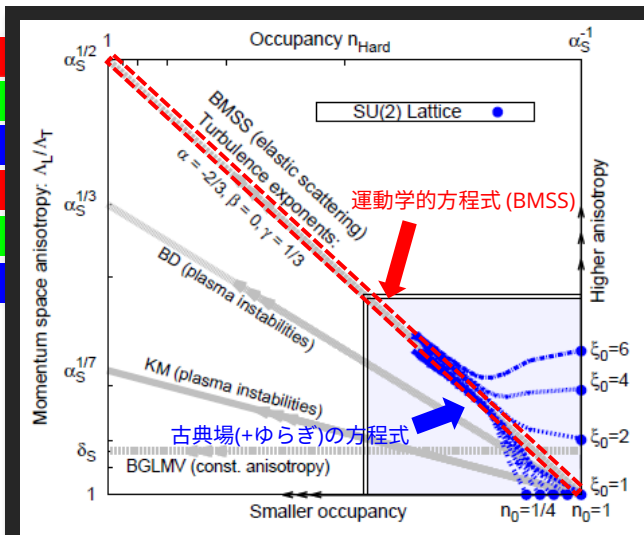
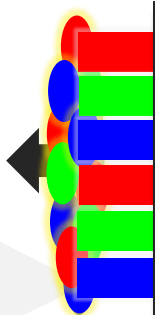
1/Qs ~ O(0.1) fm/c

O(1) fm/c

時間



衝突



- ・ 古典場(+ゆらぎ)の方程式は、運動学的方程式に滑らかに繋がる
 - $1/g^2 \gg f \gg 1$ でoverlap [Mueller, Son (2004)] [Jeon (2004)]
 - ボトムアップ的な描像を支持 [Baier, Mueller, Schiff, Son (2001)]
 - 非熱的/非平衡なアトラクター

[Berges, Boguslavski, Schlichting, Venugopalan (2014)]

グルーオン飽和 (CGC)
→ 摂動論的QCD

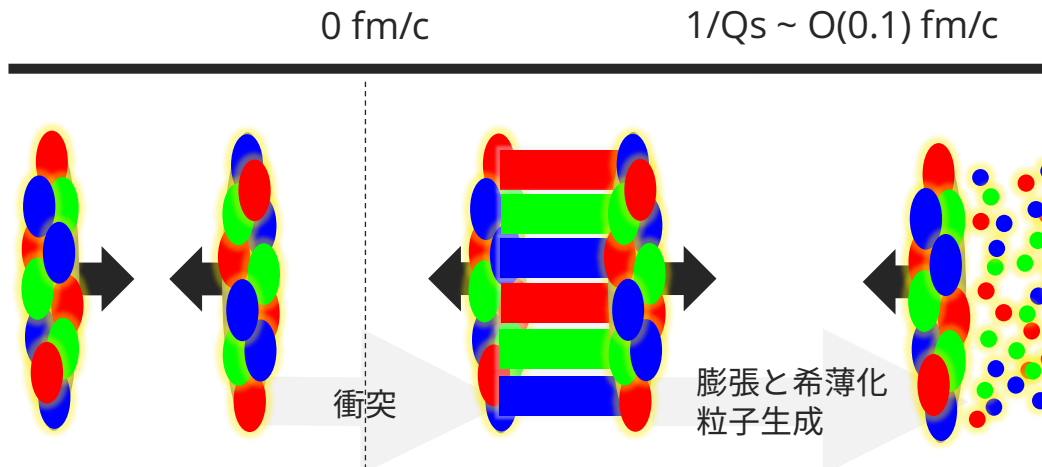
強いカラー電磁場 (Glasma)
→ 古典場(+ゆらぎ)の方程式

パートン物質
→ 運動学的方程式

クォークグルーオンプラズマ
→ 流体力学

QGPの生成シナリオ

(弱結合領域における)



グルーオン飽和 (CGC)

→ 摂動論的QCD

強いカラー電磁場 (Glasma)

→ 古典場(+ゆらぎ)の方程式

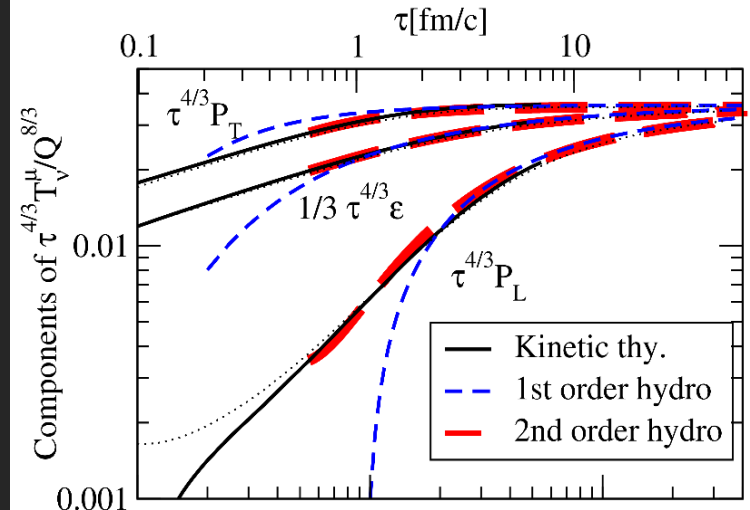
パートン物質

→ 運動学的方程式

クォークグルーオンプラズマ

→ 流体力学

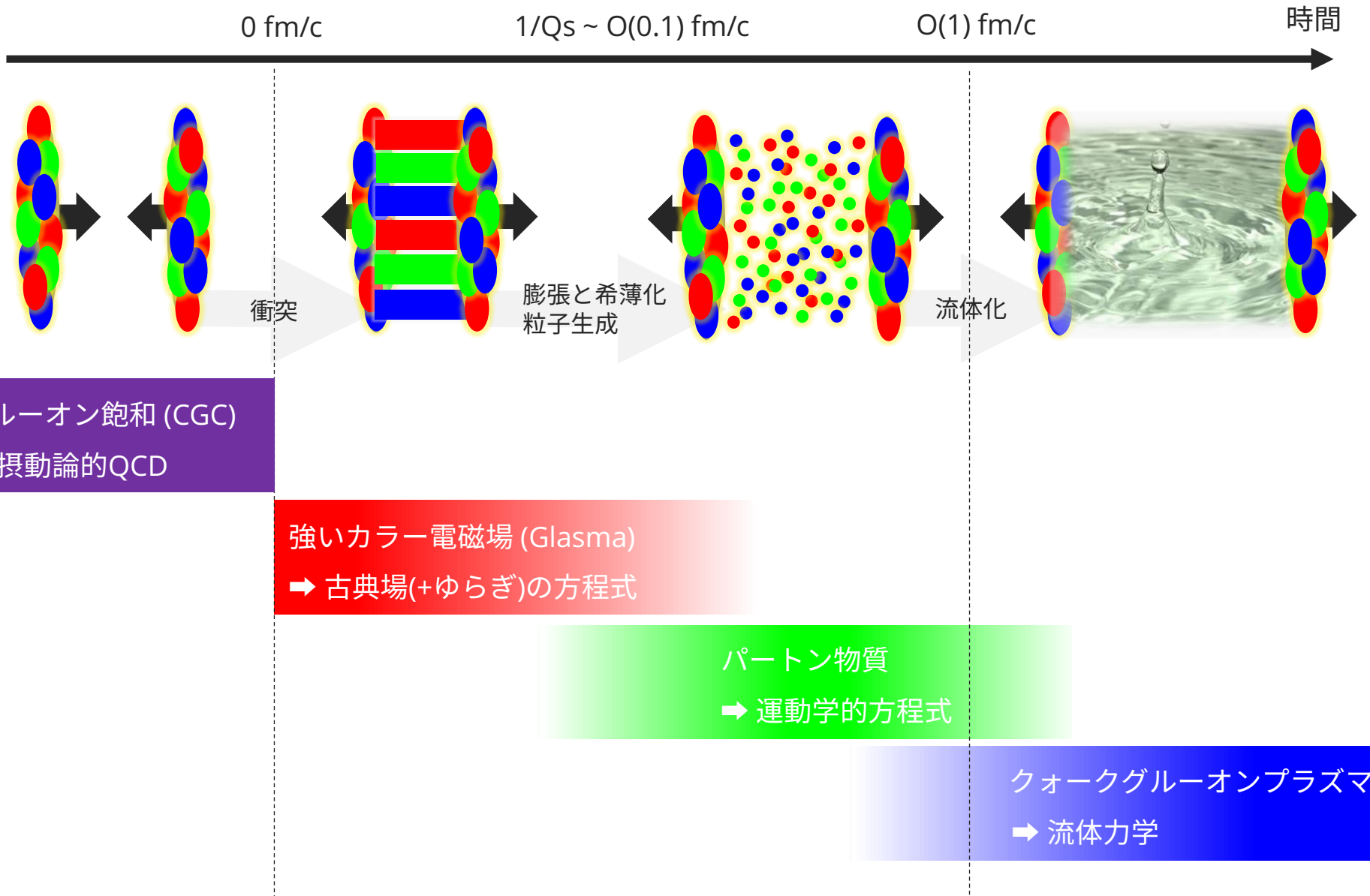
[Kurkela, Zhu (2015)]



- 運動学的方程式は、流体計算に滑らかにつながる
- 「非等方(非平衡)でも流体が使える」と思えば、時間スケールは短い： $\tau \sim O(1) \text{ fm}/c$
 - 「早い熱化問題」と矛盾しない
 - off-equilibriumなhydrodynamics?
 - 「流体化」と等方化や熱化を区別する必要?

[Romatschke (2018)]

QGPの生成シナリオ (弱結合領域における)



強いカラー場に関連した話題・進展 (個人的に気になる)

✓ QGP生成過程の理解 [Review: Berges, Heller, Mazeliauskas, Venugopalan (2020)] (弱結合領域における)

⇒ それっぽいシナリオは出来つつある
しかし、実験的にどうconfirmするかは依然open problem

✓ それに関連した話題・進展

- クォーク生成、カイラリティ生成 Gelis, Kajantie, Lappi, Tanji, Berges, Fukushima, Copinger, HT, ...
- charged v1 flow [Hirono, Hongo, Hirano (2014)] [Voronyuk, Toneev, Voloshin, Cassing (2014)]
[実験: STAR Collaboration (2016), 新井田さんが詳しい]
- 光子・ダイレプトン生成 Matsui, Asakawa, Tanji, Berges, Venugopalan, Liao, McLerran, Gale ...
- Ridge, 長距離rapidity相関 [実験: 関口さんが詳しい]
- 初期由来のpreflow [Dusling, Mace, Venugopalan (2018)]
- K_0MP_0ST [Kurkela, Mazeliauskas, Paquet, Schlichting, Teaney (2018)] [Berges, Rothkopf, Schmidt (2008)]
[Berges, Boguslavski, Schlichting, Venugopalan (2013)]
- 非平衡アトラクター・"universality" [Spinor Bose gasでの観測: Prufer et al. (2018)]
- off-equilibrium hydrodynamics [Heller, Spalinski (2015)] [Romatschke (2018)]
- ...

2. 重イオンにおける 強い電磁場

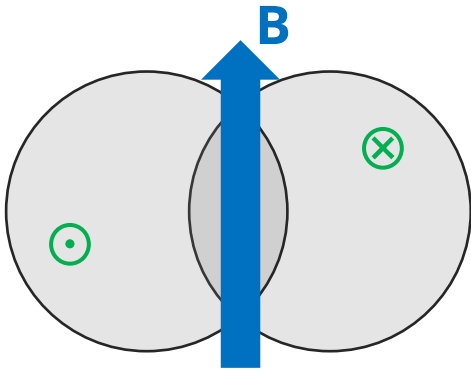
強い電磁場のできかた

✓ 3種類ある

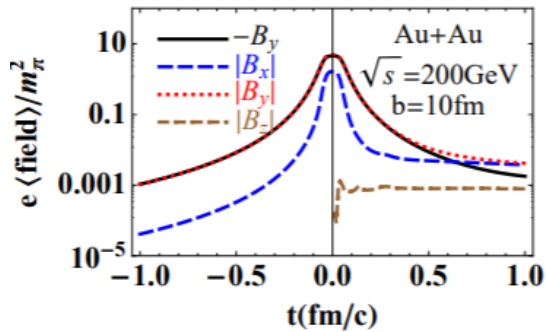
強い電磁場のできかた

✓ 3種類ある

① 非中心/(超)周辺衝突



$$eB \sim \frac{\alpha Z v \gamma}{r^2} \sim \alpha Z \gamma \times m_\pi^2$$

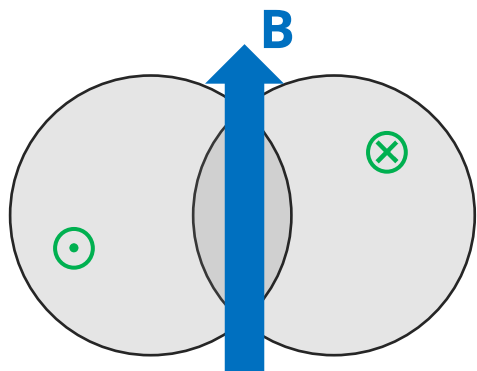


[Deng, Huang (2012)]

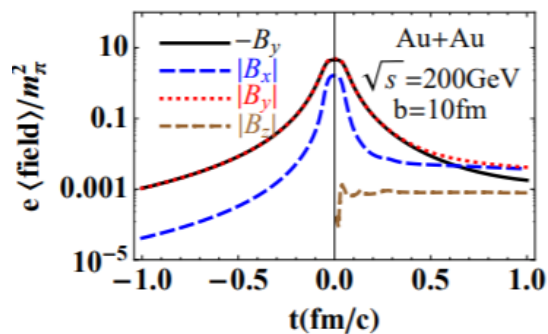
強い電磁場のできかた

✓ 3種類ある

① 非中心/(超)周辺衝突

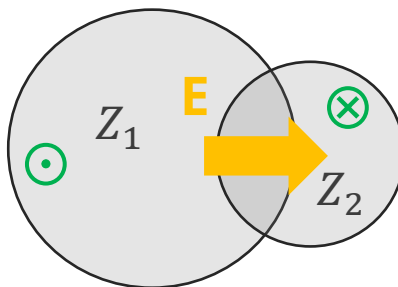


$$eB \sim \frac{\alpha Z v \gamma}{r^2} \sim \alpha Z \gamma \times m_\pi^2$$

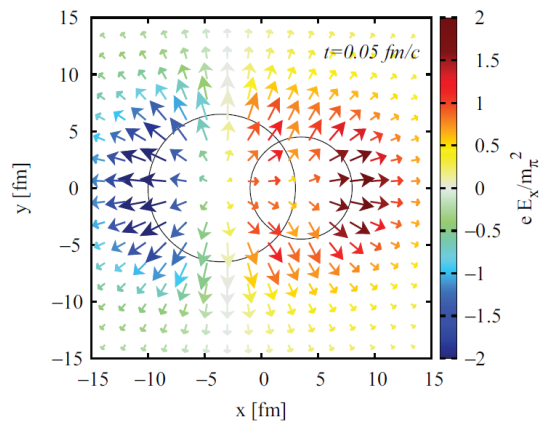


[Deng, Huang (2012)]

② 非対称衝突



$$eE \sim \frac{\alpha(Z_1 - Z_2)\gamma}{r^2} \sim \alpha(Z_1 - Z_2)\gamma \times m_\pi^2$$

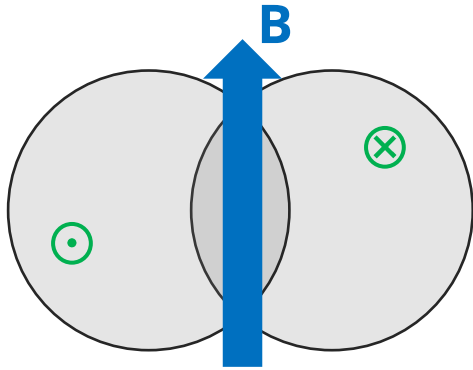


[Voronyuk, Toneev, Voloshin, Cassing (2014)]

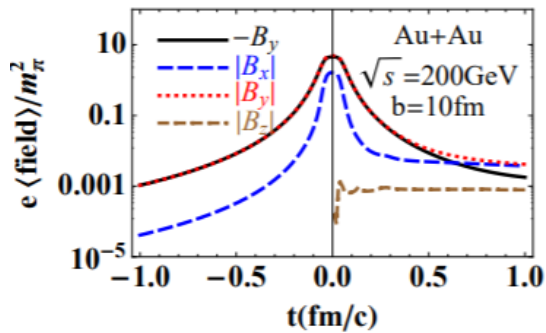
強い電磁場のできかた

✓ 3種類ある

① 非中心/(超)周辺衝突

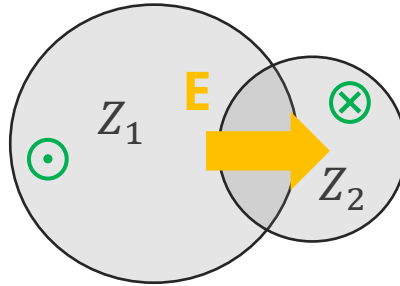


$$eB \sim \frac{\alpha Z v \gamma}{r^2} \sim \alpha Z \gamma \times m_\pi^2$$

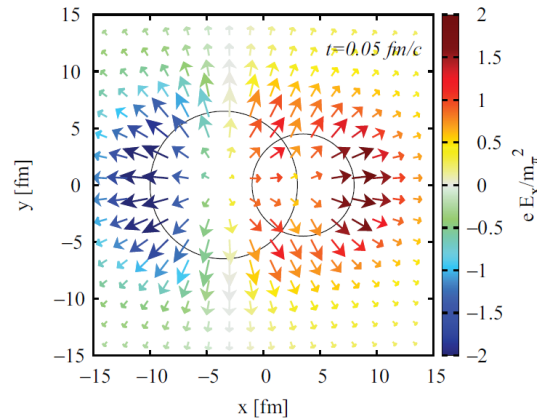


[Deng, Huang (2012)]

② 非対称衝突

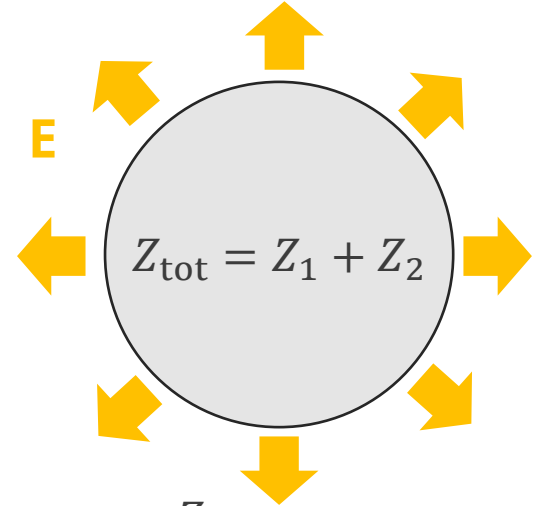


$$eE \sim \frac{\alpha(Z_1 - Z_2)\gamma}{r^2} \sim \alpha(Z_1 - Z_2)\gamma \times m_\pi^2$$

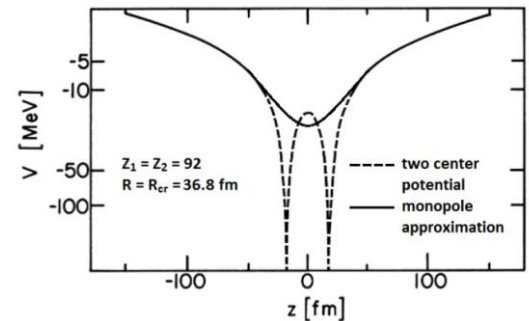


[Voronyuk, Toneev, Voloshin, Cassing (2014)]

③ 低エネルギー衝突



$$eE \sim \frac{\alpha Z_{tot}}{r^2} \sim \alpha Z_{tot} \times m_\pi^2$$



[Review: Rafelski, Kirsch, Muller, Reinhardt, Greiner (2014)]

(まともなシミュレーションを田屋は知らない)

強い電磁場に関連した話題・進展 (個人的に気になる)

① 非中心/超周辺衝突

- 光子光子散乱 [Enterria, Silveira (2013)]
[Klusek-Gawenda, Lebedowicz (2016)]
[実験: ATLAS Collaboration (2017)]
- 真空複屈折の"観測" [理論: 服部さんが詳しい] [Hattori, Huang, HI, Yoshida (in prep.)]
[(?) STAR Collaboration (2019)]
- カイラル磁気効果 [理論: 本郷, 広野, ...さんあたりが詳しい]

② 非対称衝突

- charged v1 flow [実験: STAR Collaboration (2016), 新井田さんが詳しい]
[Hirono, Hongo, Hirano (2014)] [Voronyuk, Toneev, Voloshin, Cassing (2014)]

③ 低エネルギー衝突

- 低エネルギー衝突での真空崩壊 (~Schwinger機構)
[Review: Rafelski, Kirsch, Muller, Reinhardt, Greiner (2014)]
[理論による実験への最近の提案: Maltsev et al (2019)]
[グラフェンでの類似物の観測: Wang et al. (2013)]
- ...

定義: 強い電磁場による複屈折

未観測

[中性子星での観測?: Mignani, Testa, Caniulef, Taverna, Turolla, Zane, Wu (2017)]

複屈折^{def} ≡ 強い電磁場との(多重)散乱で、光子の伝搬が偏極に依存する現象

$$= \text{Re} \left[\text{---} \bigcirc \text{---} \right] = \text{Re} \left[\begin{array}{c} \text{---} \bigcirc \text{---} \\ \text{---} \bigcirc \text{---} \\ \text{---} \bigcirc \text{---} \\ \dots \\ \text{---} \bigcirc \text{---} \end{array} \right]$$

定義: 強い電磁場による複屈折

未観測

[中性子星での観測?: Mignani, Testa, Caniulef, Taverna, Turolla, Zane, Wu (2017)]

複屈折 $\stackrel{\text{def}}{=} 強い電磁場との(多重)散乱で、光子の伝搬が偏極に依存する現象$

$$= \text{Re} \left[\text{---} \bigcirc \text{---} \right] = \text{Re} \left[\text{---} \bigcirc \text{---} + \text{---} \bigcirc \text{---} + \dots + \text{---} \bigcirc \text{---} \right]$$

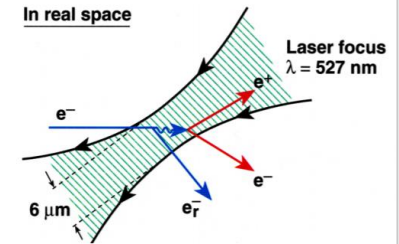
未観測

Breit-Wheeler過程 $\stackrel{\text{def}}{=} 2\gamma \rightarrow e^+e^-$ 過程

(正確には、Landau-Lifshitz過程)

$$= \text{Im} \left[\text{---} \bigcirc \text{---} \right] \stackrel{\text{EPA}}{\sim} \text{Im} \left[\text{---} \bigcirc \text{---} \right] \stackrel{\text{EPA}}{\sim} \text{Im} \left[\text{---} \bigcirc \text{---} \right]$$

(正確には、Bether-Heitler過程)



観測済

非線形Breit-Wheeler過程 $\stackrel{\text{def}}{=} \gamma + n\gamma^* \rightarrow e^+e^-$ 過程

[SLAC E144実験: Burke et al (1997)]

$$= \text{Im} \left[\text{---} \bigcirc \text{---} \right] = \text{Im} \left[\text{---} \bigcirc \text{---} + \text{---} \bigcirc \text{---} + \dots + \text{---} \bigcirc \text{---} \right]$$

実験で見えていること (1/2)

✓ 超周辺衝突事象において、強い電磁場の衝突で作られたダイレプトンを測った

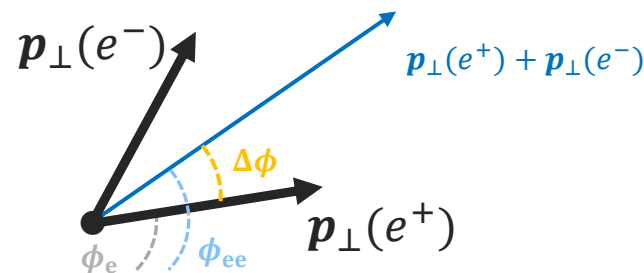
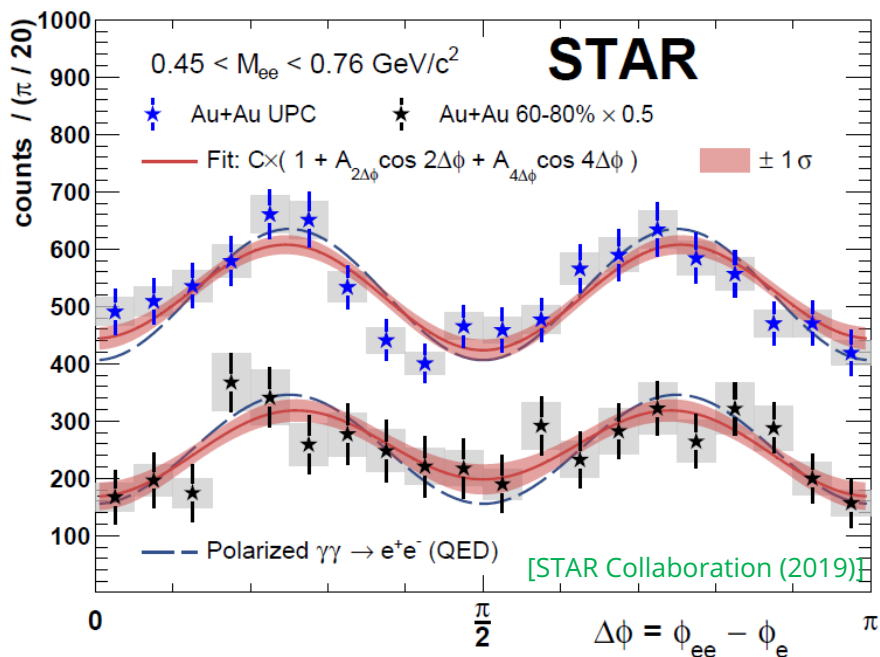
$$\Leftrightarrow \text{Im} \left[\text{Diagram 1} \right] \stackrel{\text{EPA}}{\sim} \text{Im} \left[\text{Diagram 2} \right] \quad (\text{i.e., Breit-Wheeler過程)を測った}$$

The diagram shows two Feynman diagrams enclosed in large square brackets. The first diagram on the left shows a central circle with a vertical dashed line through its center. Four wavy lines, representing photons, enter and exit the circle. Two wavy lines enter from the left, and two exit to the right. Each wavy line has a blue circle with the letter 'F' at its end. The second diagram on the right is similar, but the wavy lines are black and have a more irregular, sun-like shape at their ends. Above the tilde symbol between the two diagrams is the text 'EPA'.

実験で見えていること (1/2)

✓ 超周辺衝突事象において、強い電磁場の衝突で作られたダイレプトンを測った

$$\Leftrightarrow \text{Im} \left[\text{Diagram 1} \right] \stackrel{\text{EPA}}{\sim} \text{Im} \left[\text{Diagram 2} \right] \quad (\text{i.e., Breit-Wheeler過程)を測った}$$

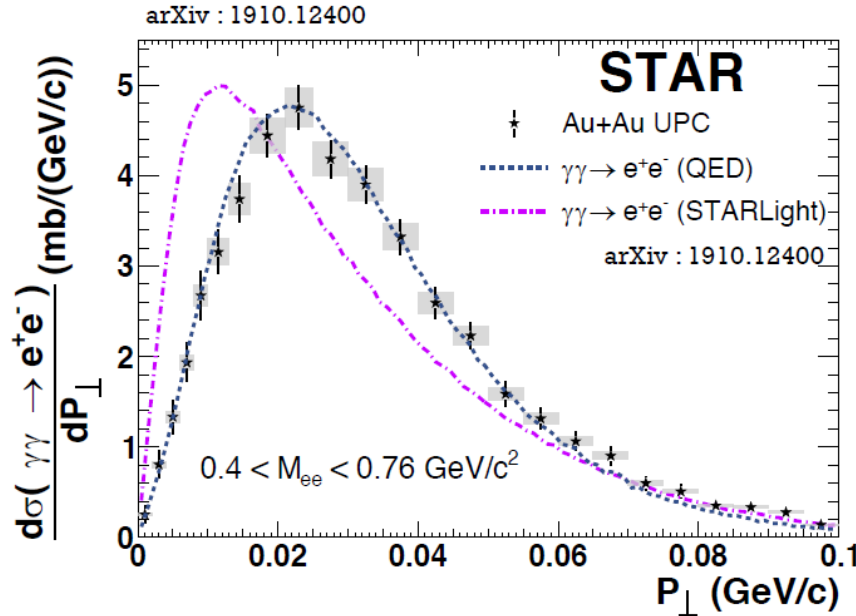


Differential Quantities	Ultra-Peripheral			Peripheral HHICs		
	Measured	QED	χ^2/ndf	Measured	QED	χ^2/ndf
$ A_{4\Delta\phi} $ (%)	16.8 ± 2.5	22	18.8 / 16	27 ± 6	39	10.2 / 17
$ A_{2\Delta\phi} $ (%)	2.0 ± 2.4	0	18.8 / 16	6 ± 6	0	10.2 / 17
$\sqrt{\langle P_{\perp}^2 \rangle}$ (MeV/c)	38.1 ± 0.9	37.6	—	50.9 ± 2.5	48.5	—

- ローレンツ収縮した電磁場 ~ 直線偏光した(ほぼ)実光子の集合 → 方位角方向の依存性
- 高次補正は見えてなさそう(?)。最低時のQED計算 ($2\gamma \rightarrow e^+e^-$ の断面積をEPAの光子分布で積分) と大体合致
[Zha, Brandenburg, Tang, Xu (2019)] [Li, Zhou, Zhou (2019)]
- 実部は測っていない (原理的には関係しているが、複屈折というのはミスリーディング)

実験で見えていること (2/2)

$$d\sigma(\gamma\gamma \rightarrow e^+e^-)/dP_{\perp}$$



QED and STARLight are scaled to match measured $\sigma(\gamma\gamma \rightarrow e^+e^-)$

STARLight: S. R. Klein, et. al. *Comput. Phys. Commun.* 212 (2017) 258

QED : W. Zha, J.D.B., Z. Tang, Z. Xu arXiv:1812.02820 [nucl-th]

11/05/19

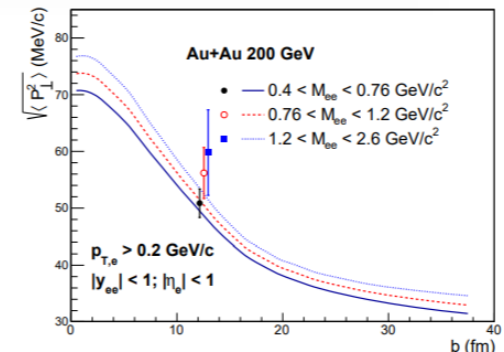
Daniel Brandenburg

11

- Data are well described by leading order QED calculation ($\gamma\gamma \rightarrow e^+e^-$) with quasi-real photons
- STARLight predicts significantly lower $\langle P_{\perp} \rangle$ than seen in data
 - STARLight calculations do not have centrality-dependent P_{\perp} distribution
- Experimentally investigate impact parameter dependence :
→ Compare UPC to peripheral collisions (come back to later)

- di-leptonの横運動量 P_{\perp} 分布は、インパクトパラメータ b と相関
(\because 親光子の横運動量 $\sim 1/b$)
- STARLightはインパクトパラメータ b を積分/平均した結果
⇒ P_{\perp} 分布がソフトに。 b 依存性を適切に入れた計算が必要

[Zha, Brandenburg, Tang, Xu (2019)]



強い電磁場に関連した話題・進展 (個人的に気になる)

① 非中心/超周辺衝突

- 光子光子散乱 [Enterria, Silveira (2013)]
[Klusek-Gawenda, Lebedowicz (2016)]
[実験: ATLAS Collaboration (2017)]
- 真空複屈折の"観測" [理論: 服部さんが詳しい] [Hattori, Huang, HI, Yoshida (in prep.)]
[(?) STAR Collaboration (2019)]
⇒ 重イオン衝突を「強い場の物理」の実験場として利用できる可能性
理論的課題: 高次補正、磁場強度の推定、 $\cos(2\Delta\phi)$ 以外の観測量、etc
- カイラル磁気効果 [理論: 本郷, 広野, ...さんあたりが詳しい]

② 非対称衝突

- charged v1 flow [実験: STAR Collaboration (2016), 新井田さんが詳しい]
[Hirono, Hongo, Hirano (2014)] [Voronyuk, Toneev, Voloshin, Cassing (2014)]

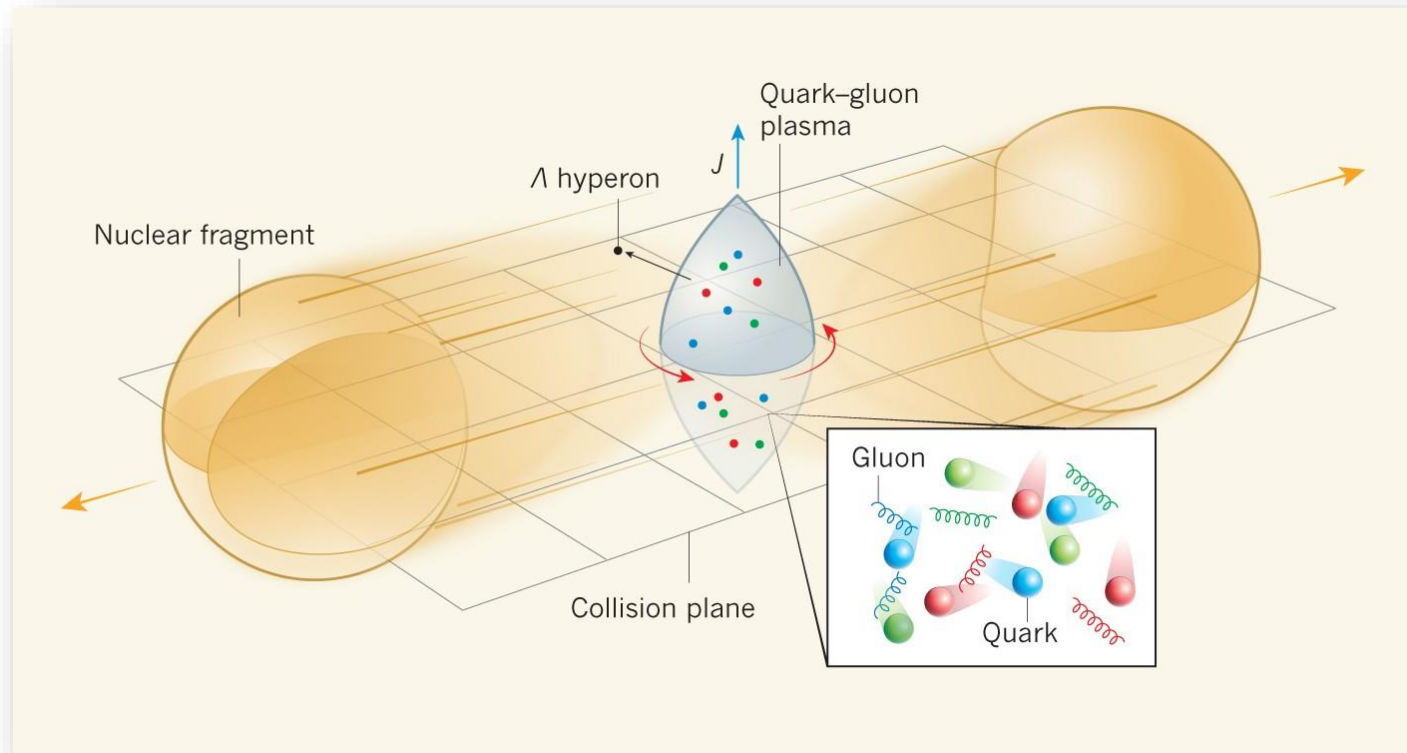
③ 低エネルギー衝突

- 低エネルギー衝突での真空崩壊 (~Schwinger機構)
[Review: Rafelski, Kirsch, Muller, Reinhardt, Greiner (2014)]
[理論による実験への最近の提案: Maltsev et al (2019)]
[グラフエンでの類似物の観測: Wang et al. (2013)]
- ...

3. 重イオンにおける 強い渦度場

[新井田さんのトークがもっと詳しい]

強い渦度場のできかた



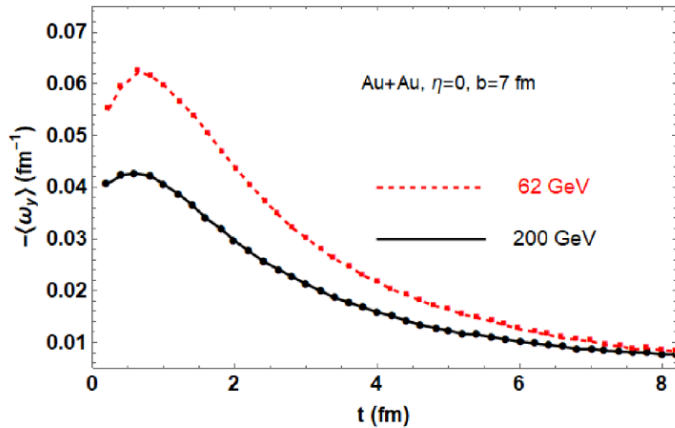
- ✓ 系は巨大な角運動量を (globalに) 持つ: $J = p \times x \sim \sqrt{s}A \times b/2 \sim 10^6 \hbar$
~ 生成されたQGPは大きな渦度 $\omega \equiv \text{rot } v$ を持ちそう

(localなvorticityも存在する → 新井田さんのトークを参照)

数值計算的に正しそう

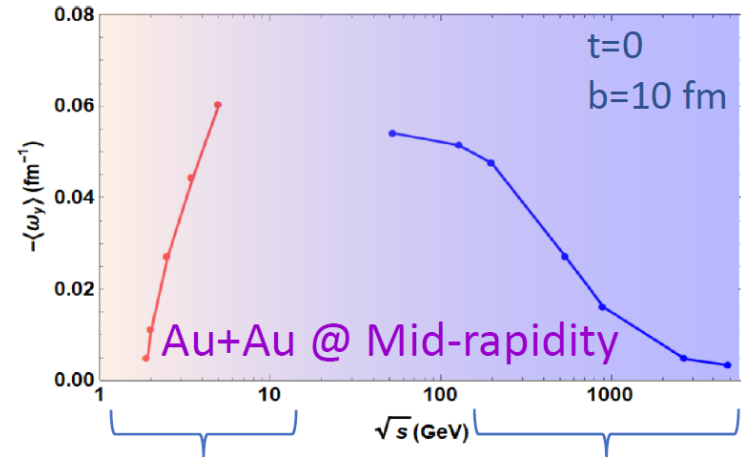
Vorticity by global angular momentum

Time dependence



AMPT (Jiang-Lin-Liao PRC2016)

Energy dependence

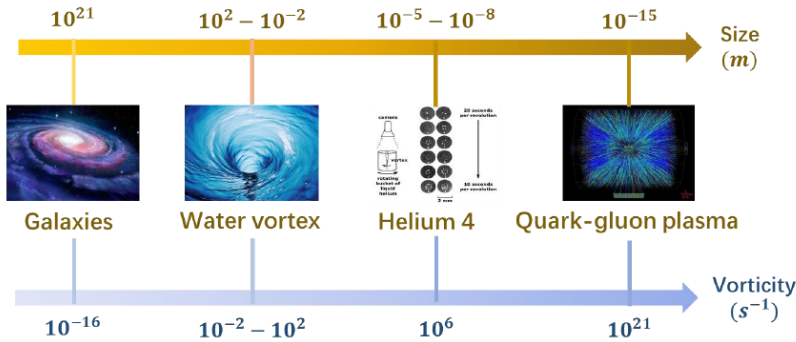


UrQMD/IQMD

(Deng-XGH-Ma-Zhang 2019)

HIJING

(Deng-XGH PRC2016)



- **Most vortical fluid** $|\langle\omega_y\rangle| \sim 10^{21} \text{s}^{-1}$
- Relativistic suppression at high energy

See also: Becattini et al EPJC2015, Csernai et al PRC2013, PRC2014, Ivanov et al PRC2017, PRC2019,

なにが期待されるか

[Liang, Wang (2005)]
[Voloshin (2004)]

QGPはスピン偏極する

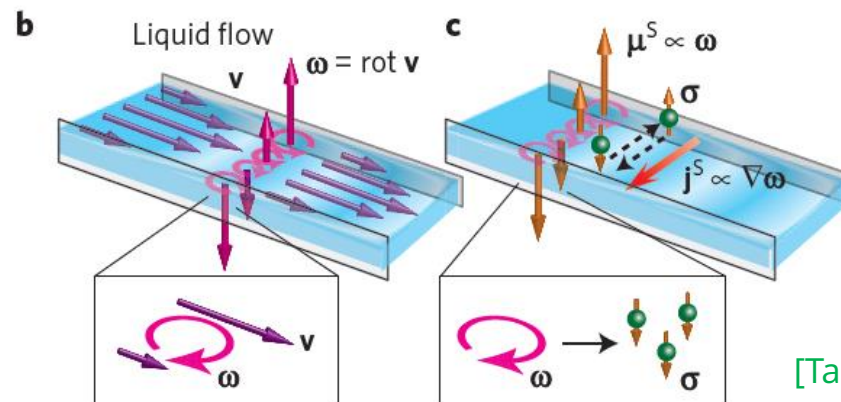
✓ **spin-vorticity coupling** $E \rightarrow E - \omega \cdot s$ (\sim LS force $\delta E \propto L \cdot s$)

- 分布関数が、 $f_s(E/T) \rightarrow f_s(\frac{E - \omega \cdot s}{T})$ と変更される

$$\Rightarrow P \equiv \frac{f_{\uparrow} - f_{\downarrow}}{f_{\uparrow} + f_{\downarrow}} = O(\omega/T) = O(0.1 - 1\%)$$

[Vilenkin (1980)]
[Hehl, Ni (1990)]
[Matsuo *et al.* (2011)]
[Beccatini (2012)]
[Beccatini *et al.* (2013)]
[Hattori *et al.* (2019)] ...

- スピントロニクスでアナログが観測済



[Takahashi *et al.* (2015)]

実験でも見えてるっぽい

[STAR Collaboration (2018)] [新井田さんのトークも参照]

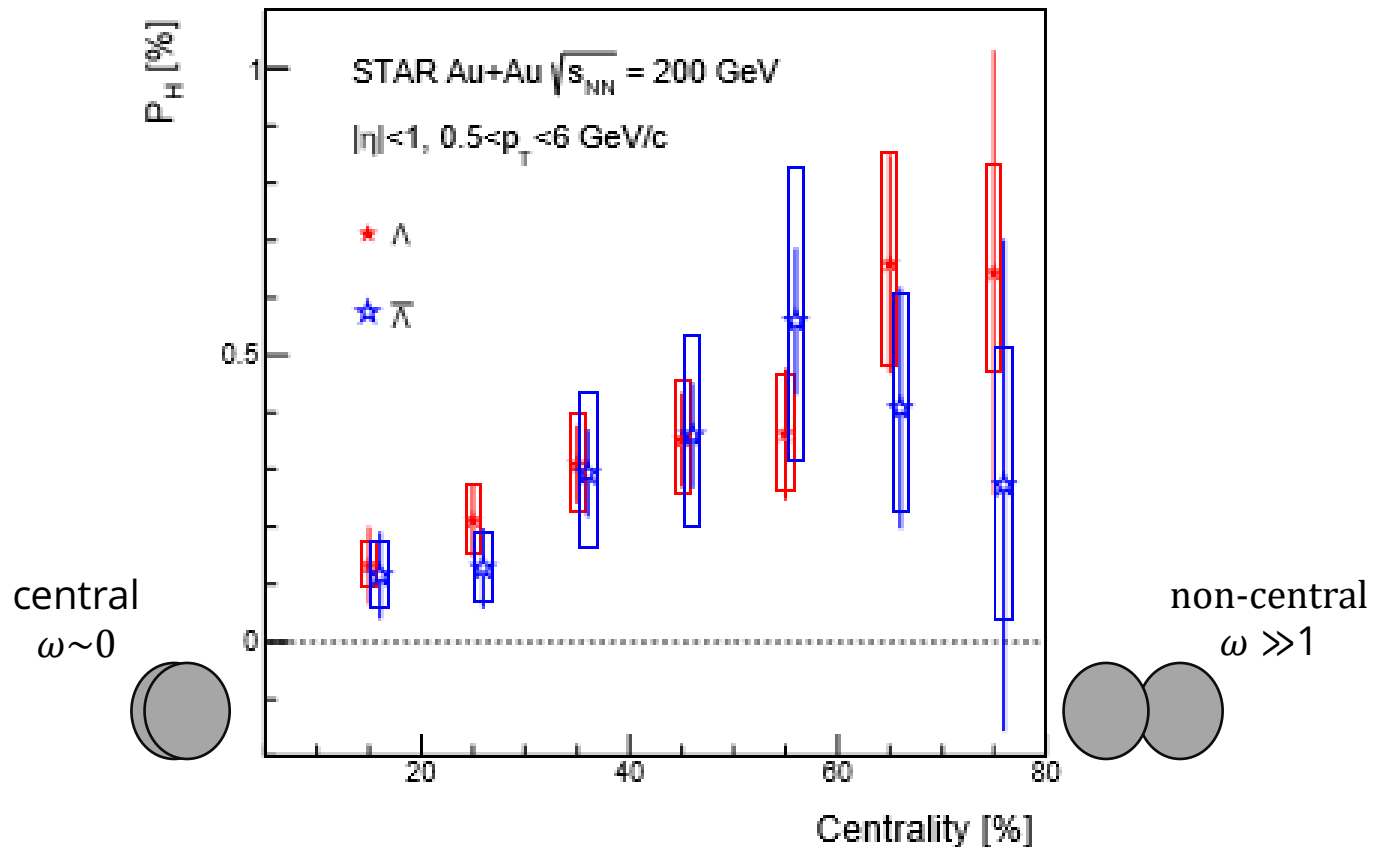


FIG. 5. Λ ($\bar{\Lambda}$) polarization as a function of the collision centrality in Au+Au collisions at $\sqrt{s_{NN}} = 200$ GeV. Open boxes and vertical lines show systematic and statistical uncertainties. The data points for $\bar{\Lambda}$ are slightly shifted for visibility.

実験結果は $\omega = O(10^{20} \text{ Hz}) = O(1 \sim 10 \text{ MeV})$ を示唆

⇒ 理論的予想とオーダーはコンシステント

強い渦度場に関連した話題・進展 (個人的に気になる)

- 新しい観測量

- Vector meson (e.g., Φ , K^*) の spin alignment [Liang, Wang (2005)]
[実験: STAR Collaboration (2008), (2019)]
[実験: ALICE Collaboration (2020)]
- スピン依存したハドロン収量 [HI et al (ExHIC-P Collaboration) (2020)]
- 方位角依存性とかlocalな量 [Becattini, Karpenko (2018)]
[Xia, Li, Tang, Wang (2018)]
...
- ...

- “符号問題” (Λ偏極の方位角依存性) [実験: STAR Collaboration (2018)]

- カイラル渦度効果(CVE) [理論: 本郷, 広野, ...さんあたりが詳しい]

- **スピン流体力学** [非相対論: “micropolar fluid”; Eringen (1998), Lukaszewicz (1999)]
[ideal: Florkowski, Friman, Jaiswal, Speranza (2018)]
[1st order: Hattori, Hongo, Huang, HI, Matsuo (2019)]

- カイラル運動論 Son, Yamamoto, Stephanov, Yang, Hattori, Hidaka, Huang, Memeda, ...
[スピン流体の導出: Shi, Gale, Jeon (2020)]

- 角運動量/スピンの分解 [pQCDや光学でいろいろ発展がある。
最近のレビューとして: Fukushima, Pu (2020)]

- ...

スピン流体の現状

✓ QGPの発展は流体力学でよく理解できる

⇒ スピン偏極したQGPの発展も流体力学的記述が有効だろう

スピン流体の現状

✓ QGPの発展は流体力学でよく理解できる

⇒ スピン偏極したQGPの発展も流体力学的記述が有効だろう

✓ 相対論的なスピン流体は発展途上

スピン流体の現状

✓ QGPの発展は流体力学でよく理解できる

⇒ スピン偏極したQGPの発展も流体力学的記述が有効だろう

✓ 相対論的なスピン流体は発展途上

非相対論的

既に確立している (e.g. micropolar fluid) [Eringen (1998)] [Lukaszewicz (1999)]

- 実際の物理現象の記述にも成功している e.g. spintronics: [Takahashi et al. (2015)]
- **スピンは保存しない**。保存するのは、全角運動量=軌道角運動量+スピン

スピン流体の現状

✓ QGPの発展は流体力学でよく理解できる

⇒ スピン偏極したQGPの発展も流体力学的記述が有効だろう

✓ 相対論的なスピン流体は発展途上

非相対論的

既に確立している (e.g. micropolar fluid) [Eringen (1998)] [Lukaszewicz (1999)]

- 実際の物理現象の記述にも成功している e.g. spintronics: [Takahashi et al. (2015)]
- **スピンは保存しない**。保存するのは、全角運動量=軌道角運動量+スピン

相対論的

確立していない

[Florkowski, Ryblewski, Kumar, ...]

- “ideal”なスピン流体はあるが、そもそも**スピンは保存しないので変**。
- しばしば目にする“流体力学の数値計算”にはスピン自由度は入っていない
(スピンが入っていない普通の流体を解く → Freeze-outでの(thermal) vorticityを計算
→ Cooper-Fryeにspin-vorticity coup.を手で入れて、スピンの依存した観測量を出す)

流体力学 w/o スピンの導出

流体力学 ≡ 長波長モード(流体変数)のダイナミクス
を記述する有効理論(EFT)

流体力学 w/o スピンの導出

流体力学 ≡ 長波長モード(流体変数)のダイナミクス
を記述する有効理論(EFT)

EFT的な導出 [\[textbook by Landau & Lifshitz\]](#)

流体力学 w/o スピンの導出

流体力学 ≡ 長波長モード(流体変数)のダイナミクス
を記述する有効理論(EFT)

EFT的な導出 [\[textbook by Landau & Lifshitz\]](#)

ステップ1:

ステップ2:

ステップ3:

流体力学 w/o スピンの導出

流体力学 \equiv **長波長モード(流体変数)のダイナミクス
を記述する有効理論(EFT)**

EFT的な導出 [textbook by Landau & Lifshitz]

ステップ1: 保存則を書き下す $0 = \partial_\mu T^{\mu\nu}$

ステップ2:

ステップ3:

流体力学 w/o スピンの導出

流体力学 \equiv **長波長モード(流体変数)のダイナミクスを記述する有効理論(EFT)**

EFT的な導出 [textbook by Landau & Lifshitz]

ステップ1: 保存則を書き下す $0 = \partial_\mu T^{\mu\nu}$

ステップ2: $T^{\mu\nu}$ を“流体変数”で書き直す (構成方程式)

ステップ3:

流体力学 w/o スピンの導出

流体力学 \equiv **長波長モード(流体変数)のダイナミクスを記述する有効理論(EFT)**

EFT的な導出 [textbook by Landau & Lifshitz]

ステップ1: 保存則を書き下す $0 = \partial_\mu T^{\mu\nu}$

ステップ2: $T^{\mu\nu}$ を“流体変数”で書き直す (構成方程式)

•

•

•

ステップ3:

流体力学 w/o スピンの導出

流体力学 \equiv 長波長モード(流体変数)のダイナミクス
を記述する有効理論(EFT)

EFT的な導出 [textbook by Landau & Lifshitz]

ステップ1: 保存則を書き下す $0 = \partial_\mu T^{\mu\nu}$

ステップ2: $T^{\mu\nu}$ を“流体変数”で書き直す (構成方程式)

- “流体変数”を定義する $\{\beta, u^\mu\} \sim P^\mu$ の化学ポテンシャル $\begin{pmatrix} u^\mu = \gamma(1, \mathbf{v}/c) \\ u^2 = -1 \end{pmatrix}$

•

•

ステップ3:

流体力学 w/o スピンの導出

流体力学 \equiv 長波長モード(流体変数)のダイナミクス
を記述する有効理論(EFT)

EFT的な導出 [textbook by Landau & Lifshitz]

ステップ1: 保存則を書き下す $0 = \partial_\mu T^{\mu\nu}$

ステップ2: $T^{\mu\nu}$ を“流体変数”で書き直す (構成方程式)

• “流体変数”を定義する $\{\beta, u^\mu\} \sim p^\mu$ の化学ポテンシャル $\begin{pmatrix} u^\mu = \gamma(1, \mathbf{v}/c) \\ u^2 = -1 \end{pmatrix}$

• $T^{\mu\nu}$ の可能なテンソル構造をすべて書き下す

$$\begin{aligned} T^{\mu\nu} = & f_1(\beta)g^{\mu\nu} + f_2(\beta)u^\mu u^\nu \\ & + f_3(\beta)\epsilon^{\mu\nu\rho\sigma}\partial_\rho u_\sigma + f_4(\beta)\partial^\mu u^\nu + f_5(\beta)\partial^\nu u^\mu \\ & + f_6(\beta)g^{\mu\nu}\partial^\rho u_\rho + f_7(\beta)u^\mu u^\nu\partial^\rho u_\rho + f_8(\beta)u^\mu\partial_\mu u^\nu + \dots + O(\partial^2) \end{aligned}$$

•

ステップ3:

流体力学 w/o スピンの導出

流体力学 \equiv 長波長モード(流体変数)のダイナミクス
を記述する有効理論(EFT)

EFT的な導出 [textbook by Landau & Lifshitz]

ステップ1: 保存則を書き下す $0 = \partial_\mu T^{\mu\nu}$

ステップ2: $T^{\mu\nu}$ を"流体変数"で書き直す (構成方程式)

• "流体変数"を定義する $\{\beta, u^\mu\} \sim P^\mu$ の化学ポテンシャル $\begin{pmatrix} u^\mu = \gamma(1, \mathbf{v}/c) \\ u^2 = -1 \end{pmatrix}$

• $T^{\mu\nu}$ の可能なテンソル構造をすべて書き下す

$$\begin{aligned} T^{\mu\nu} = & f_1(\beta)g^{\mu\nu} + f_2(\beta)u^\mu u^\nu \\ & + f_3(\beta)\epsilon^{\mu\nu\rho\sigma}\partial_\rho u_\sigma + f_4(\beta)\partial^\mu u^\nu + f_5(\beta)\partial^\nu u^\mu \\ & + f_6(\beta)g^{\mu\nu}\partial^\rho u_\rho + f_7(\beta)u^\mu u^\nu\partial^\rho u_\rho + f_8(\beta)u^\mu\partial_\mu u^\nu + \dots + O(\partial^2) \end{aligned}$$

• 要請/仮定を置いて、テンソル構造を簡単化

(1) 対称性

(2) Power counting \Rightarrow 勾配展開: 0次 \rightarrow Euler, 1次 \rightarrow Navier-Stokes

(3) 他の物理的要請 \Rightarrow 熱力学の法則: $ds = \beta de$, $0 \leq \partial_\mu S^\mu = \partial_\mu(su^\mu + O(\partial))$

ステップ3:

流体力学 w/o スピンの導出

流体力学 \equiv 長波長モード(流体変数)のダイナミクス
を記述する有効理論(EFT)

EFT的な導出 [textbook by Landau & Lifshitz]

ステップ1: 保存則を書き下す $0 = \partial_\mu T^{\mu\nu}$

ステップ2: $T^{\mu\nu}$ を"流体変数"で書き直す (構成方程式)

• "流体変数"を定義する $\{\beta, u^\mu\} \sim P^\mu$ の化学ポテンシャル $\begin{pmatrix} u^\mu = \gamma(1, \mathbf{v}/c) \\ u^2 = -1 \end{pmatrix}$

• $T^{\mu\nu}$ の可能なテンソル構造をすべて書き下す

$$\begin{aligned} T^{\mu\nu} = & f_1(\beta)g^{\mu\nu} + f_2(\beta)u^\mu u^\nu \\ & + f_3(\beta)\epsilon^{\mu\nu\rho\sigma}\partial_\rho u_\sigma + f_4(\beta)\partial^\mu u^\nu + f_5(\beta)\partial^\nu u^\mu \\ & + f_6(\beta)g^{\mu\nu}\partial^\rho u_\rho + f_7(\beta)u^\mu u^\nu\partial^\rho u_\rho + f_8(\beta)u^\mu\partial_\mu u^\nu + \dots + O(\partial^2) \end{aligned}$$

• 要請/仮定を置いて、テンソル構造を簡単化

(1) 対称性

(2) Power counting \Rightarrow **勾配展開**: 0次 \rightarrow Euler, 1次 \rightarrow Navier-Stokes

(3) 他の物理的要請 \Rightarrow **熱力学の法則**: $ds = \beta de$, $0 \leq \partial_\mu S^\mu = \partial_\mu(su^\mu + O(\partial))$

ステップ3:

流体力学 w/o スピンの導出

流体力学 \equiv 長波長モード(流体変数)のダイナミクス
を記述する有効理論(EFT)

EFT的な導出 [textbook by Landau & Lifshitz]

ステップ1: 保存則を書き下す $0 = \partial_\mu T^{\mu\nu}$

ステップ2: $T^{\mu\nu}$ を"流体変数"で書き直す (構成方程式)

• "流体変数"を定義する $\{\beta, u^\mu\} \sim P^\mu$ の化学ポテンシャル $\begin{pmatrix} u^\mu = \gamma(1, \mathbf{v}/c) \\ u^2 = -1 \end{pmatrix}$

• $T^{\mu\nu}$ の可能なテンソル構造をすべて書き下す

$$\begin{aligned} T^{\mu\nu} = & f_1(\beta)g^{\mu\nu} + f_2(\beta)u^\mu u^\nu \\ & + f_3(\beta)\epsilon^{\mu\nu\rho\sigma}\partial_\rho u_\sigma + f_4(\beta)\partial^\mu u^\nu + f_5(\beta)\partial^\nu u^\mu \\ & + f_6(\beta)g^{\mu\nu}\partial^\rho u_\rho + f_7(\beta)u^\mu u^\nu\partial^\rho u_\rho + f_8(\beta)u^\mu\partial_\mu u^\nu + \dots + O(\partial^2) \end{aligned}$$

• 要請/仮定を置いて、テンソル構造を簡単化

(1) 対称性

(2) Power counting \Rightarrow **勾配展開**: 0次 \rightarrow Euler, 1次 \rightarrow Navier-Stokes

(3) 他の物理的要請 \Rightarrow **熱力学の法則**: $ds = \beta de$, $0 \leq \partial_\mu S^\mu = \partial_\mu(su^\mu + O(\partial))$

ステップ3:

流体力学 w/o スピンの導出

流体力学 \equiv 長波長モード(流体変数)のダイナミクス
を記述する有効理論(EFT)

EFT的な導出 [textbook by Landau & Lifshitz]

ステップ1: 保存則を書き下す $0 = \partial_\mu T^{\mu\nu}$

ステップ2: $T^{\mu\nu}$ を"流体変数"で書き直す (構成方程式)

• "流体変数"を定義する $\{\beta, u^\mu\} \sim P^\mu$ の化学ポテンシャル $\begin{pmatrix} u^\mu = \gamma(1, \mathbf{v}/c) \\ u^2 = -1 \end{pmatrix}$

• $T^{\mu\nu}$ の可能なテンソル構造をすべて書き下す

$$T_{(0)}^{\mu\nu} = e u^\mu u^\nu + p (g^{\mu\nu} + u^\mu u^\nu) \quad \text{bulk viscosity}$$

$$T_{(1)}^{\mu\nu} = \underbrace{-2\kappa \left(D u^{(\mu} + \beta \partial_\perp^{(\mu} \beta^{-1)} \right) u^{\nu)}}_{\text{heat current}} - \underbrace{2\eta \partial_\perp^{<\mu} u^{\nu>}}_{\text{shear viscosity}} - \zeta (\partial_\mu u^\mu) \Delta^{\mu\nu}$$

• 要請/仮定を置いて、テンソル構造を簡単化

(1) 対称性

(2) Power counting \Rightarrow 勾配展開: 0次 \rightarrow Euler, 1次 \rightarrow Navier-Stokes

(3) 他の物理的要請 \Rightarrow 熱力学の法則: $ds = \beta de$, $0 \leq \partial_\mu S^\mu = \partial_\mu (s u^\mu + O(\partial))$

ステップ3:

流体力学 w/o スピンの導出

流体力学 \equiv 長波長モード(流体変数)のダイナミクス
を記述する有効理論(EFT)

EFT的な導出 [textbook by Landau & Lifshitz]

ステップ1: 保存則を書き下す $0 = \partial_\mu T^{\mu\nu}$

ステップ2: $T^{\mu\nu}$ を"流体変数"で書き直す (構成方程式)

• "流体変数"を定義する $\{\beta, u^\mu\} \sim P^\mu$ の化学ポテンシャル $\begin{pmatrix} u^\mu = \gamma(1, \mathbf{v}/c) \\ u^2 = -1 \end{pmatrix}$

• $T^{\mu\nu}$ の可能なテンソル構造をすべて書き下す

$$T_{(0)}^{\mu\nu} = e u^\mu u^\nu + p (g^{\mu\nu} + u^\mu u^\nu) \quad \text{bulk viscosity}$$

$$T_{(1)}^{\mu\nu} = \underbrace{-2\kappa (D u^{(\mu} + \beta \partial_\perp^{(\mu} \beta^{-1)}) u^{\nu)})}_{\text{heat current}} - \underbrace{2\eta \partial_\perp^{<\mu} u^{\nu>}}_{\text{shear viscosity}} - \zeta (\partial_\mu u^\mu) \Delta^{\mu\nu}$$

• 要請/仮定を置いて、テンソル構造を簡単化

(1) 対称性

(2) Power counting \Rightarrow 勾配展開: 0次 \rightarrow Euler, 1次 \rightarrow Navier-Stokes

(3) 他の物理的要請 \Rightarrow 熱力学の法則: $ds = \beta de$, $0 \leq \partial_\mu S^\mu = \partial_\mu (s u^\mu + O(\partial))$

ステップ3: 流体方程式 = 保存則 + 構成方程式

流体力学 **w/** スピンの導出

[Hattori, Hongo, Huang,
HI, Matsuo (2019)]

同じEFT的な導出が可能

ステップ1: **保存則**を書き下す

ステップ2: $T^{\mu\nu}$ と $\Sigma^{\mu,\alpha\beta}$ を"流体変数"で書き直す (**構成方程式**)

ステップ3: **流体方程式 = 保存則 + 構成方程式**

流体力学 **w/** スピンの導出

[Hattori, Hongo, Huang,
HI, Matsuo (2019)]

同じEFT的な導出が可能

ステップ1: **保存則**を書き下す

$$0 = \partial_\mu T^{\mu\nu} \quad \text{に加え} \quad 0 = \partial_\mu M^{\mu,\alpha\beta} = \partial_\mu (L^{\mu,\alpha\beta} + \Sigma^{\mu,\alpha\beta}) \Rightarrow \partial_\mu \Sigma^{\mu,\alpha\beta} = T^{\alpha\beta} - T^{\beta\alpha}$$

ステップ2: $T^{\mu\nu}$ と $\Sigma^{\mu,\alpha\beta}$ を"流体変数"で書き直す (**構成方程式**)

ステップ3: **流体方程式 = 保存則 + 構成方程式**

流体力学 **w/** スピンの導出

[Hattori, Hongo, Huang,
HI, Matsuo (2019)]

同じEFT的な導出が可能

ステップ1: **保存則**を書き下す

$$0 = \partial_\mu T^{\mu\nu} \quad \text{に加え} \quad 0 = \partial_\mu M^{\mu,\alpha\beta} = \partial_\mu \left(\overset{\psi(x) \rightarrow S(\Lambda)\psi(\Lambda^{-1}x)}{\color{green}L^{\mu,\alpha\beta}} + \color{orange}\Sigma^{\mu,\alpha\beta} \right) \Rightarrow \partial_\mu \Sigma^{\mu,\alpha\beta} = T^{\alpha\beta} - T^{\beta\alpha}$$

ステップ2: $T^{\mu\nu}$ と $\Sigma^{\mu,\alpha\beta}$ を"流体変数"で書き直す (**構成方程式**)

- "流体変数"を定義する $\{\beta, u^\mu, \omega^{\mu\nu}\} \sim p^\mu$ と スピン密度 $\sigma^{\alpha\beta} \sim -u_\mu \Sigma^{\mu,\alpha\beta}$ の化学ポテンシャル (w/ $\omega^{\mu\nu} = -\omega^{\nu\mu}$)
- $T^{\mu\nu}$ と $\Sigma^{\mu,\alpha\beta}$ の可能なテンソル構造をすべて書き下す
- 要請/仮定を置いて、テンソル構造を簡単化
 - (1) 対称性 (2) 勾配展開 (3) 熱力学の法則: $ds = \beta(de - \omega_{\mu\nu} d\sigma^{\mu\nu})$
 $0 \leq \partial_\mu S^\mu = \partial_\mu (su^\mu + O(\partial))$

ステップ3: **流体方程式 = 保存則 + 構成方程式**

流体力学 w/ スピンの導出

[Hattori, Hongo, Huang, HI, Matsuo (2019)]

同じEFT的な導出が可能

ステップ1: 保存則を書き下す

$$0 = \partial_\mu T^{\mu\nu} \quad \text{に加え} \quad 0 = \partial_\mu M^{\mu,\alpha\beta} = \partial_\mu \left(\overset{\psi(x) \rightarrow S(\Delta)\psi(\Lambda^{-1}x)}{\color{green}L^{\mu,\alpha\beta}} + \color{orange}\Sigma^{\mu,\alpha\beta} \right) \Rightarrow \partial_\mu \Sigma^{\mu,\alpha\beta} = T^{\alpha\beta} - T^{\beta\alpha}$$

ステップ2: $T^{\mu\nu}$ と $\Sigma^{\mu,\alpha\beta}$ を“流体変数”で書き直す (構成方程式)

- “流体変数”を定義する $\{\beta, u^\mu, \omega^{\mu\nu}\} \sim p^\mu$ とスピン密度 $\sigma^{\alpha\beta} \sim -u_\mu \Sigma^{\mu,\alpha\beta}$ の化学ポテンシャル (w/ $\omega^{\mu\nu} = -\omega^{\nu\mu}$)
- $T^{\mu\nu}$ と $\Sigma^{\mu,\alpha\beta}$ の可能なテンソル構造をすべて書き下す
- 要請/仮定を置いて、テンソル構造を簡単化

(1) 対称性 (2) 勾配展開 (3) 熱力学の法則: $ds = \beta(de - \omega_{\mu\nu} d\sigma^{\mu\nu})$
 $0 \leq \partial_\mu S^\mu = \partial_\mu (su^\mu + O(\partial))$

結果: $T_{(0)}^{\mu\nu} = eu^\mu u^\nu + p(g^{\mu\nu} + u^\mu u^\nu)$

$$T_{(1)}^{\mu\nu} = -2\kappa \left(Du^{(\mu} + \beta \partial_\perp^{(\mu} \beta^{-1)} u^{\nu)} \right) - 2\eta \partial_\perp^{<\mu} u^{\nu>} - \zeta (\partial_\mu u^\mu) \Delta^{\mu\nu}$$

heat current shear viscosity bulk viscosity
“boost heat current” “rotational (spinning) viscosity”

NEW!

$$\Sigma_{(0)}^{\mu,\alpha\beta} = u^\mu \sigma^{\alpha\beta}$$

- 非相対論的なmicropolar fluidの一般化 [Eringen (1998)] [Lukaszewicz (1999)]
- Chiral kinetic theoryでも導出可能 [Shi, Gale, Jeon (2020)]

ステップ3: 流体方程式 = 保存則 + 構成方程式

流体力学 **w/** スピンの導出

[Hattori, Hongo, Huang, HI, Matsuo (2019)]

同じEFT的な導出が可能

ステップ1: **保存則**を書き下す

$$0 = \partial_\mu T^{\mu\nu} \quad \text{に加え} \quad 0 = \partial_\mu M^{\mu,\alpha\beta} = \partial_\mu \left(\overset{\psi(x) \rightarrow S(\Delta)\psi(\Lambda^{-1}x)}{\color{green}L^{\mu,\alpha\beta}} + \color{orange}\Sigma^{\mu,\alpha\beta} \right) \Rightarrow \partial_\mu \Sigma^{\mu,\alpha\beta} = T^{\alpha\beta} - T^{\beta\alpha}$$

ステップ2: $T^{\mu\nu}$ と $\Sigma^{\mu,\alpha\beta}$ を"流体変数"で書き直す (**構成方程式**)

- "流体変数"を定義する $\{\beta, u^\mu, \omega^{\mu\nu}\} \sim p^\mu$ とスピン密度 $\sigma^{\alpha\beta} \sim -u_\mu \Sigma^{\mu,\alpha\beta}$ の化学ポテンシャル (w/ $\omega^{\mu\nu} = -\omega^{\nu\mu}$)
- $T^{\mu\nu}$ と $\Sigma^{\mu,\alpha\beta}$ の可能なテンソル構造をすべて書き下す
- 要請/仮定を置いて、テンソル構造を簡単化

(1) 対称性 (2) 勾配展開 (3) 熱力学の法則: $ds = \beta(de - \omega_{\mu\nu} d\sigma^{\mu\nu})$
 $0 \leq \partial_\mu S^\mu = \partial_\mu (su^\mu + O(\partial))$

結果: $T_{(0)}^{\mu\nu} = eu^\mu u^\nu + p(g^{\mu\nu} + u^\mu u^\nu)$
 $T_{(1)}^{\mu\nu} = -2\kappa \left(Du^{(\mu} + \beta \partial_\perp^{(\mu} \beta^{-1} \right) u^{\nu)} - 2\eta \partial_\perp^{<\mu} u^{\nu>} - \zeta (\partial_\mu u^\mu) \Delta^{\mu\nu}$
heat current
shear viscosity
bulk viscosity
 $-2\lambda \left(-Du^{[\mu} + \beta \partial_\perp^{[\mu} \beta^{-1} + 4u_\rho \omega^{\rho[\mu} \right) u^{\nu]} - 2\gamma \left(\partial_\perp^{[\mu} u^{\nu]} - 2\Delta_\rho^{[\mu} \Delta_\lambda^{\nu]} \omega^{\rho\lambda} \right)$
"boost heat current"
"rotational (spinning) viscosity"
 $\Sigma_{(0)}^{\mu,\alpha\beta} = u^\mu \sigma^{\alpha\beta}$

NEW!

- 非相対論的なmicropolar fluidの一般化 [Eringen (1998)] [Lukaszewicz (1999)]
- Chiral kinetic theoryでも導出可能 [Shi, Gale, Jeon (2020)]

ステップ3: **流体方程式 = 保存則 + 構成方程式**

強い渦度場に関連した話題・進展 (個人的に気になる)

- 新しい観測量

- Vector meson (e.g., Φ , K^*) の spin alignment

[Liang, Wang (2005)]
[実験: STAR Collaboration (2008), (2019)]
[実験: ALICE Collaboration (2020)]

- スピン依存したハドロン収量 [HT et al (ExHIC-P Collaboration) (2020)]

- 方位角依存性とかlocalな量 [Becattini, Karpenko (2018)]
[Xia, Li, Tang, Wang (2018)]

...

- ...

- “符号問題” (Λ偏極の方位角依存性) [実験: STAR Collaboration (2018)]

- カイラル渦度効果(CVE) [理論: 本郷, 広野, ...さんあたりが詳しい]

- **スピン流体力学** [非相対論: “micropolar fluid”; Eringen (1998), Lukaszewicz (1999)]
[ideal: Florkowski, Friman, Jaiswal, Speranza (2018)]
[1st order: Hattori, Hongo, Huang, HT, Matsuo (2019)]

⇒ **重イオンの現象論の議論的にはまだまだ発展途上**
e.g., 二次流体, 輸送係数, 数値コードの実装, ...

- カイラル運動論 [Son, Yamamoto, Stephanov, Yang, Hattori, Hidaka, Huang, Memeda, ...
[スピン流体の導出: Shi, Gale, Jeon (2020)]

- 角運動量/スピンの分解 [pQCDや光学でいろいろ発展がある。
最近のレビューとして: Fukushima, Pu (2020)]

- ...

まとめ

まとめ

重イオン衝突初期における 3つの強い場の物理の(主観的な)レビュー

0. 基礎的な話

- 強い場の物理の概観
- 理論の現状と問題点

1. 強いカラー場

- でき方: CGCの衝突～カラーコンデンサー
- 最近の話題: QGPの生成シナリオ

2. 強い電磁場

- でき方: 非中心/非対称/低エネルギー衝突
- 最近の話題: 複屈折の観測(?)

3. 強い渦度場

- でき方: 非中心衝突 (global vorticity)
- 最近の話題: スピン流体力学

[新井田さんのトーク参照]